

**Здесь представлены слайды, которые
показывались на лекциях по курсу
*«Введение в квантовую физику».***

**Представленные на слайдах материал не
является исчерпывающим и не отражает
полного содержания курса!**

**Поэтому данные слайды не могут
являться основой для подготовки к
экзамену!!!**

**На слайдах могут быть опечатки, будьте
внимательны.**

Список литературы (часть 1 и 2):

- Вихман Э. Квантовая физика. (Берклеевский курс физики, т.4.) М: Наука. 1974.
- Иродов И.Е. Квантовая физика. Основные законы. М: Бином, 2004. 256 с.
- Матвеев А.Н. Атомная физика. М: Высшая школа, 1989. 439 с.
- Фейнман Р. Фейнмановские лекции по физике, т.8, М: Мир, 1967. 272 с.
- Фейнман Р. Фейнмановские лекции по физике, т.9, М: Мир 1967. 260 с.

Излучение абсолютно черного тела

Формула Планка:

$$\rho_{\omega}(T) = \frac{\hbar \omega^3}{\pi^2 c^3} \frac{1}{\exp\left(\frac{\hbar \omega}{kT}\right) - 1} \quad \rho_{\lambda}(T) = \frac{16\pi^2 c \hbar}{\lambda^5} \frac{1}{\exp\left(\frac{2\pi \hbar c}{\lambda kT}\right) - 1}$$

Постоянная Планка: $\hbar = 1,054 \cdot 10^{-34}$ Дж · с

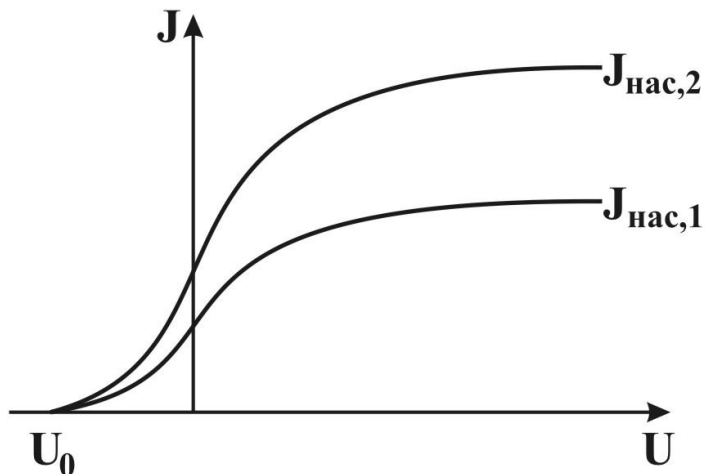
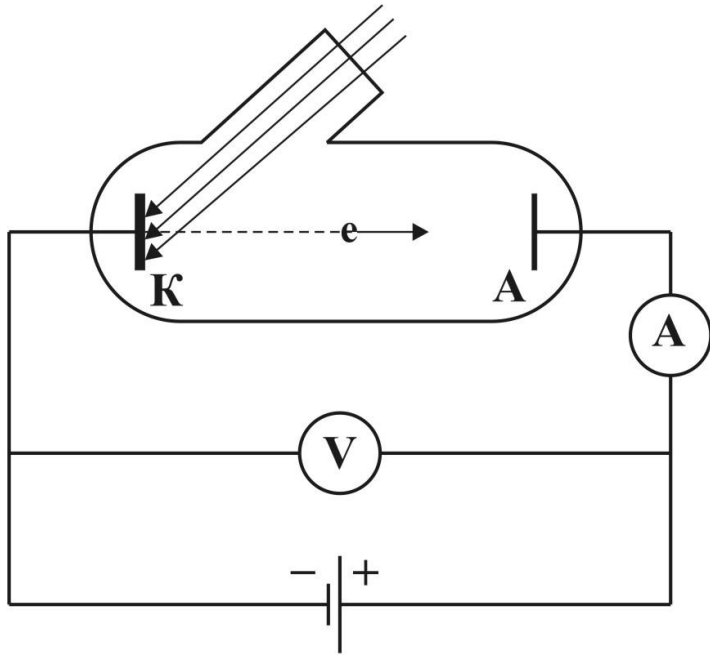
Закон смещения Вина:

$$\lambda_{\max} T = b = 0.2014 \frac{2\pi \hbar c}{k} = 2,897 \cdot 10^{-3} \text{ м} \cdot \text{К}$$

Закон Стефана-Больцмана:

$$\rho = \alpha T^4 \quad \alpha = \frac{\pi^2 k^4}{15 \hbar^3 c^3} = 7,57 \cdot 10^{-16} \text{ Дж} \cdot \text{м}^{-3} \cdot \text{К}^{-4}$$

Внешний фотоэффект



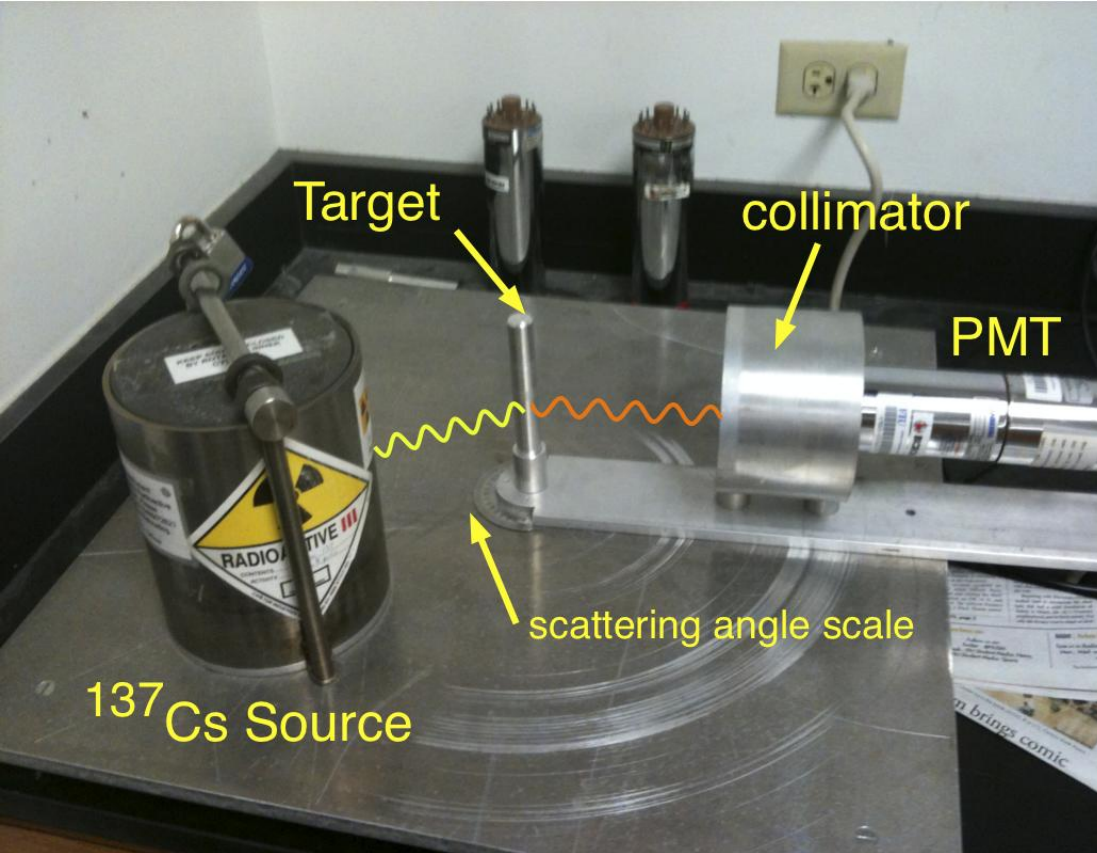
Законы фотоэффекта:

1. Существует граничная частота света, ниже которой для данного материала катода фотоэффект отсутствует, независимо от интенсивности падающего света и продолжительности облучения катода.
2. Электроны покидают поверхность катода с кинетическими энергиями от нуля до максимальной энергии, которая не зависит от интенсивности падающего света и линейно зависит от частоты.
3. При фиксированной частоте излучения фототок насыщения прямо пропорционален интенсивности падающего света.

Формула Эйнштейна:

$$\hbar\omega = T_{\max} + A_{\text{ВЫХ}}$$

Эффект Комптона



Если электрон покоится:

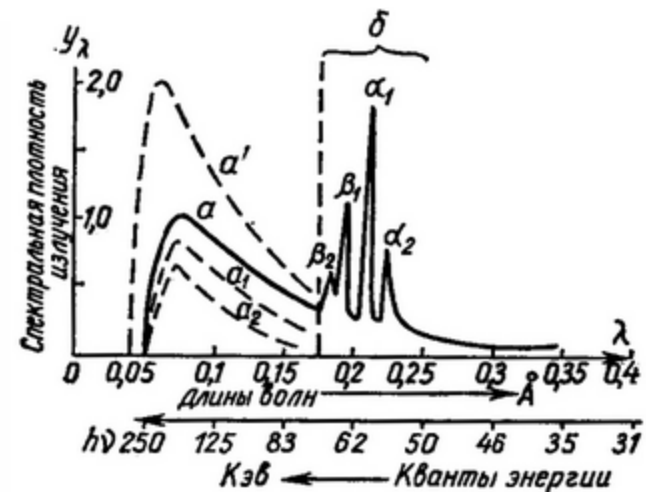
$$\Delta\lambda = \lambda_K (1 - \cos\theta)$$

$$\lambda_K = \frac{h}{mc} = 2,43 \cdot 10^{-12} \text{ м}$$

Если электрон движется:

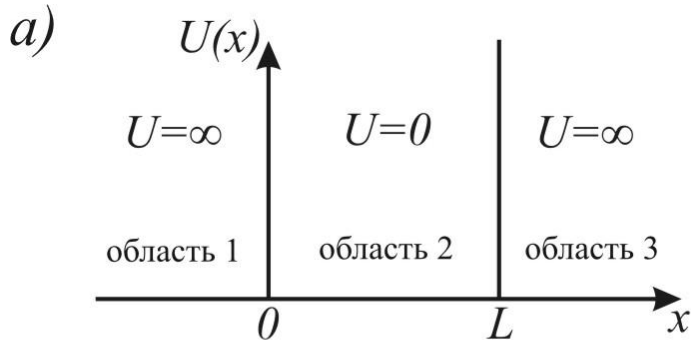
$$\Delta\lambda = \lambda_0 \frac{\left(p_{e0} + \frac{h}{\lambda_0} \right) c}{\sqrt{(mc^2)^2 + (p_{e0}c)^2} - p_{e0}c} (1 - \cos\theta)$$

Тормозное рентгеновское излучение



$$\lambda_{\min} = \frac{hc}{E_i - mc^2} \left[1 + \frac{1}{Mc^2} (E_i - p_i c \cos \theta) \right] \approx \frac{hc}{eU}$$

Частица в прямоугольной бесконечно глубокой яме



$$\psi'' + \frac{2m(E-U)}{\hbar^2} \psi = 0 \quad \psi_{1,3}(x) \equiv 0$$

$$\psi_2'' + k^2 \psi_2 = 0 \quad k = \frac{\sqrt{2mE}}{\hbar}$$

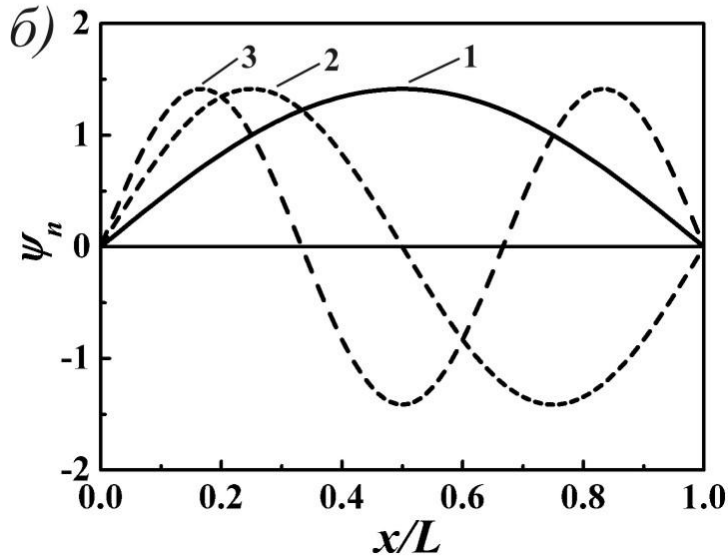
$$\psi_2(x) = C_1 \sin(kx) + C_2 \cos(kx)$$

$$\psi_2(0) = \psi_1(0) = 0 \Rightarrow C_2 = 0$$

$$\psi_2(L) = \psi_3(L) = 0 \Rightarrow \sin(kL) = 0$$

$$k_n = \frac{\pi n}{L}$$

$$E_n = \frac{\pi^2 \hbar^2}{2mL^2} n^2 \quad n = 1, 2, 3, \dots$$



$$\psi_{2,n}(x) = C_1 \sin\left(\frac{\pi x}{L} n\right)$$

$$\int_{-\infty}^{\infty} |\psi(x)|^2 dx = |C_1|^2 \int_0^L \sin^2\left(\frac{\pi n x}{L}\right) dx = 1 \Rightarrow C_1 = \sqrt{\frac{2}{L}} \cdot e^{i\alpha}$$

$$\Psi_n(x, t) = \sqrt{\frac{2}{L}} \sin\left(\frac{\pi x}{L} n\right) \exp\left(-\frac{iE_n t}{\hbar}\right)$$

Частица в прямоугольной бесконечно глубокой яме

$$\Psi_1(x, t) = \sqrt{\frac{2}{L}} \sin\left(\frac{\pi x}{L}\right) \exp\left(-\frac{iE_1 t}{\hbar}\right) \quad x \in (0, L)$$

$$E_1 = \frac{\pi^2 \hbar^2}{2mL^2}$$

Вычисление среднего значения и дисперсии координаты:

$$\bar{x} = \int_{-\infty}^{+\infty} \Psi^* \hat{x} \Psi dx = \frac{L}{2} \quad \langle x^2 \rangle = \int_{-\infty}^{+\infty} \Psi^* \hat{x}^2 \Psi dx = L^2 \left(\frac{1}{3} - \frac{1}{2\pi^2} \right)$$

$$D_x = \langle x^2 \rangle - \langle x \rangle^2 = L^2 \left(\frac{1}{12} - \frac{1}{2\pi^2} \right)$$

Вычисление среднего значения и дисперсии импульса:

$$\bar{p} = \int_{-\infty}^{+\infty} \Psi^* \hat{p} \Psi dx = 0 \quad \langle p^2 \rangle = \int_{-\infty}^{+\infty} \Psi^* \hat{p}^2 \Psi dx = \frac{\pi^2 \hbar^2}{L^2} \quad D_p = \langle p^2 \rangle - \langle p \rangle^2 = \frac{\pi^2 \hbar^2}{L^2}$$

Проверка соотношения неопределенностей Гейзенберга:

$$\delta x \delta p = \sqrt{D_x D_p} = \hbar \sqrt{\frac{\pi^2}{12} - \frac{1}{2}} \approx 0,57\hbar > \frac{\hbar}{2}$$

Частица в прямоугольной бесконечно глубокой яме

Переход к импульсному представлению:

$$\begin{aligned}\psi(p) &= \langle p | \psi \rangle = \int_{-\infty}^{+\infty} \langle p | x \rangle \langle x | \psi \rangle dx = \int_{-\infty}^{+\infty} \psi_p^*(x) \psi(x) dx = \\ &= \frac{1}{\sqrt{2\pi\hbar}} \sqrt{\frac{2}{L}} \int_0^L \sin\left(\frac{\pi x}{L}\right) \exp\left(-\frac{ipx}{\hbar}\right) dx = \frac{2\hbar\sqrt{\pi L\hbar}}{(\pi^2\hbar^2 - p^2 L^2)} \cos\left(\frac{pL}{2\hbar}\right) \exp\left(-i\frac{pL}{2\hbar}\right)\end{aligned}$$

$$\rho(p) = |\psi(p)|^2 = \frac{4\pi\hbar^3 L}{(\pi^2\hbar^2 - p^2 L^2)^2} \cos^2\left(\frac{pL}{2\hbar}\right)$$

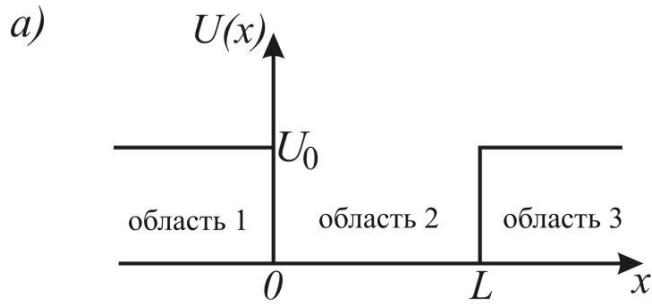
Частица в нестационарном состоянии:

$$\Psi(x, t) = \frac{1}{\sqrt{2}} \psi_1(x) \exp\left(-\frac{i}{\hbar} E_1 t\right) + \frac{i}{\sqrt{2}} \psi_2(x) \exp\left(-\frac{i}{\hbar} E_2 t\right)$$

$$\bar{x} = \int_{-\infty}^{+\infty} \Psi^* \hat{x} \Psi dx$$

$$\bar{x}(t) = L \left[\frac{1}{2} - \frac{16}{9\pi^2} \sin\left(\frac{E_2 - E_1}{\hbar} t\right) \right]$$

Частица в прямоугольной яме конечной глубины



$$\psi_{1,3}'' - q^2 \psi_{1,3} = 0$$

$$q = \frac{\sqrt{2m(U_0 - E)}}{\hbar}$$

$$\psi_1(x) = C_1 e^{qx}$$

$$\psi_3(x) = C_3 e^{-qx}$$

$$\psi_2'' + k^2 \psi_2 = 0$$

$$k = \frac{\sqrt{2mE}}{\hbar}$$

$$\psi_2(x) = C_2 \sin(kx + \delta)$$

$$\psi_1(0) = \psi_2(0) \Rightarrow C_1 = C_2 \sin \delta$$

$$\psi_2(L) = \psi_3(L) \Rightarrow C_3 e^{-qL} = C_2 \sin(kL + \delta)$$

$$\psi_1'(0) = \psi_2'(0) \Rightarrow qC_1 = kC_2 \cos \delta$$

$$\psi_2'(L) = \psi_3'(L) \Rightarrow -qC_3 e^{-qL} = kC_2 \cos(kL + \delta)$$

$$\cos \xi = \pm \gamma \xi$$

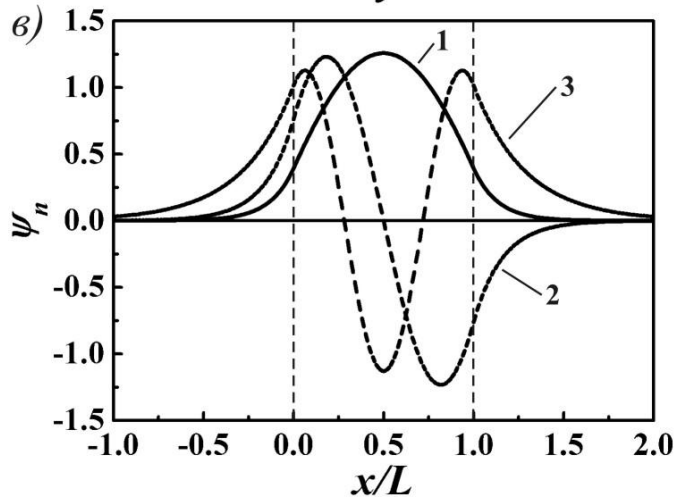
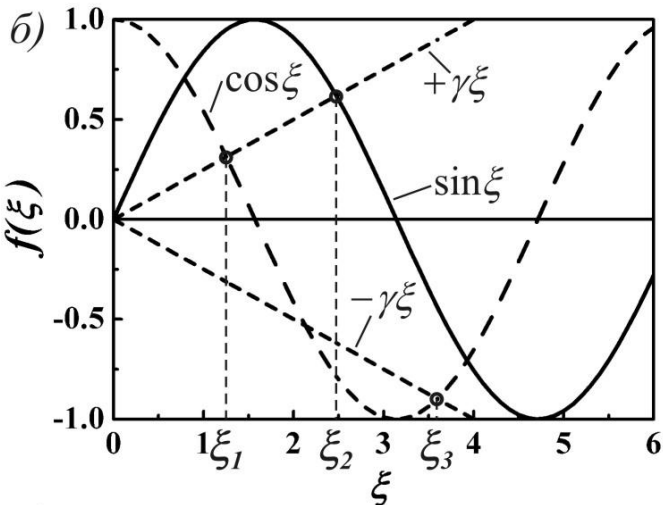
$$\xi \in \left[0, \frac{\pi}{2}\right] \cup \left[\pi, \frac{3\pi}{2}\right] \cup \dots$$

$$\sin \xi = \pm \gamma \xi$$

$$\xi \in \left[\frac{\pi}{2}, \pi\right] \cup \left[\frac{3\pi}{2}, 2\pi\right] \cup \dots$$

$$\xi = \frac{kL}{2} \quad \gamma = \frac{\hbar}{L} \sqrt{\frac{2}{mU_0}}$$

$$E_n = \frac{2\hbar^2 \xi_n^2}{mL^2} \quad n = 1, \dots, n_{\max}$$



Частица в прямоугольной яме конечной глубины

Предельный случай бесконечно глубокой ямы:

$$U_0 \rightarrow \infty \Rightarrow \gamma \rightarrow 0 \Rightarrow \xi_n \rightarrow \frac{\pi n}{2} \Rightarrow E_n = \frac{2\hbar^2 \xi_n^2}{mL^2} \rightarrow \frac{\pi^2 \hbar^2}{2mL^2} n^2$$

Предельный случай «мелкой» ямы:

$$\gamma \gg 1 \Leftrightarrow U_0 \ll \frac{2\hbar^2}{mL^2}$$

$$\gamma \xi = \cos \xi \quad \gamma \xi = 1 \Rightarrow \xi = \frac{1}{\gamma}$$

$$\gamma \xi = \cos\left(\frac{1}{\gamma}\right) \approx 1 - \frac{1}{2}\left(\frac{1}{\gamma}\right)^2 \Rightarrow \xi \approx \frac{1}{\gamma} - \frac{1}{2\gamma^3}$$

Единственный уровень энергии:

$$E \approx U_0 \left(1 - \frac{mL^2}{2\hbar^2} U_0 \right)$$

Частица в прямоугольной яме конечной глубины

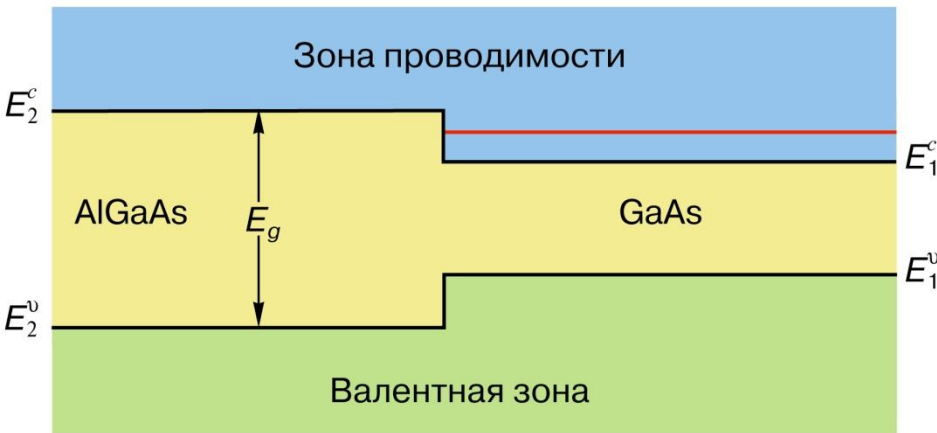


Рис. 2. Энергетические зоны на границе двух полупроводников – гетероструктуре. E^c и E^v – границы зоны проводимости и валентной зоны, E_g – ширина запрещенной зоны. Электрон с энергией меньше E_2^c (уровень показан красным цветом) может находиться только справа от границы

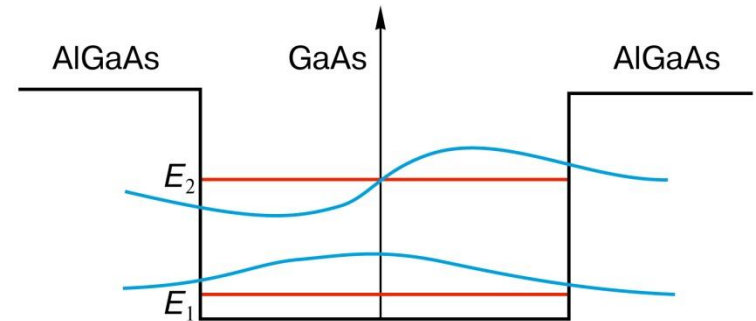


Рис. 3. Квантовая яма, сформированная в слое полупроводника с узкой запрещенной зоной, заключенном между двумя полупроводниками, обладающими более широкой запрещенной зоной

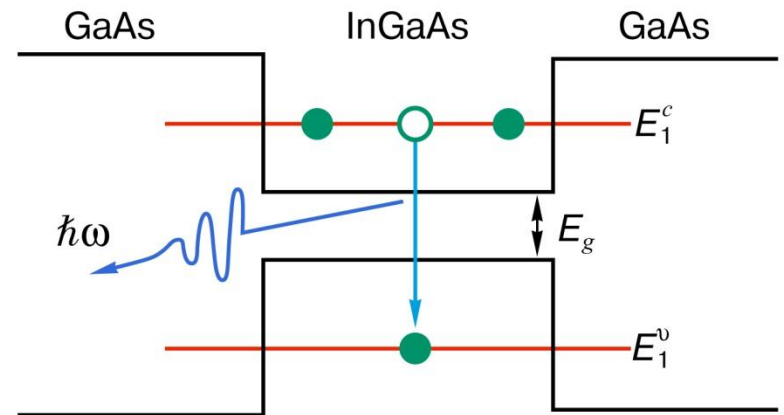
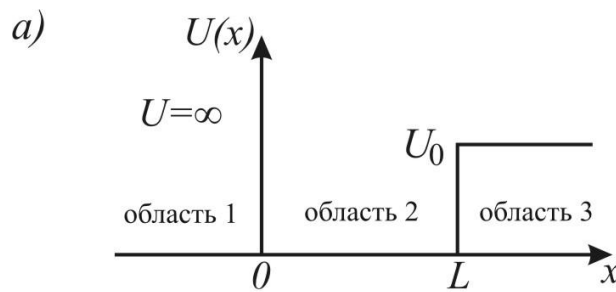


Рис. 6. Энергетическая схема лазера на квантовой яме

Частица в прямоугольной яме с одной бесконечно высокой стенкой



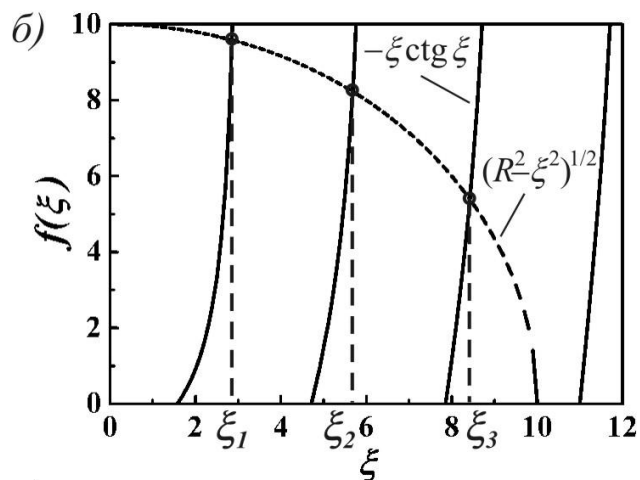
$$\psi_1(x) \equiv 0, \quad x \in (-\infty, 0]$$

$$\psi_2(x) = C_2 \sin(kx + \delta), \quad x \in (0, L)$$

$$\psi_3(x) = C_3 e^{-qx}, \quad x \in [L, \infty)$$

$$k = \frac{\sqrt{2mE}}{\hbar}$$

$$q = \frac{\sqrt{2m(U_0 - E)}}{\hbar}$$

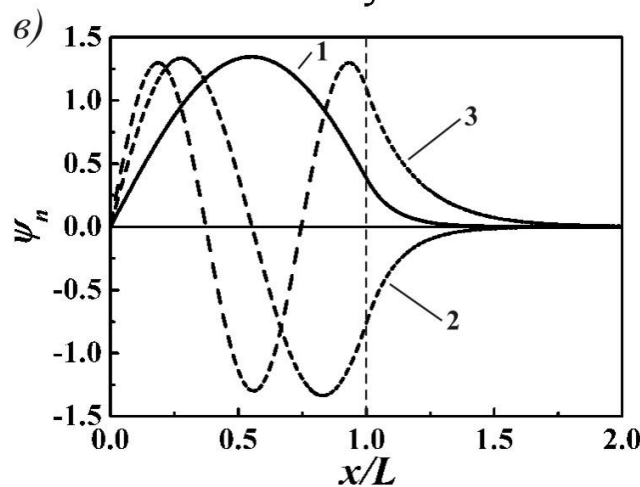


$$\psi_2(0) = \psi_1(0) = 0 \Rightarrow \delta = 0$$

$$\psi_2(L) = \psi_3(L) \Rightarrow C_2 \sin(kL) = C_3 e^{-qL}$$

$$\psi_2'(L) = \psi_3'(L) \Rightarrow kC_2 \cos(kL) = -qC_3 e^{-qL}$$

$$\xi = kL \quad R = \frac{L\sqrt{2mU_0}}{\hbar}$$



$$-\xi \operatorname{ctg}(\xi) = \sqrt{R^2 - \xi^2}$$

$$E_n = \frac{\hbar^2 \xi_n^2}{2mL^2}$$

$$n = 1, 2, 3, \dots, n_{\max} < \infty$$

В «мелкой» яме уровней нет!

Гармонический осциллятор

$$U(x) = \frac{m\omega^2 x^2}{2}$$

$$\frac{d^2\psi(x)}{dx^2} + \frac{2m}{\hbar^2} \left(E - \frac{m\omega^2 x^2}{2} \right) \psi(x) = 0$$

$$\xi = \sqrt{\frac{m\omega}{\hbar}} x$$

$$\psi''(\xi) + \left(\frac{2E}{\hbar\omega} - \xi^2 \right) \psi(\xi) = 0$$

Сначала ищем асимптотическое решение при $\xi \rightarrow \pm\infty$

$$\psi''_{ass}(\xi) = \xi^2 \psi_{ass}(\xi)$$

$$\psi_{ass}(\xi) = e^{-\xi^2/2}$$

Теперь ищем решение в виде $\psi(\xi) = \chi(\xi)e^{-\xi^2/2}$

$$\chi'' - 2\xi\chi' + 2n\chi = 0$$

$$2n = \frac{2E}{\hbar\omega} - 1$$

Это уравнение имеет решения в виде полиномов только если

$$n = 0, 1, 2, 3, \dots$$

Тогда

$$E_n = \hbar\omega \left(\frac{1}{2} + n \right)$$

Гармонический осциллятор

Основное состояние:

$$\chi_0(\xi) = a_0 = \text{const} \quad \left(\frac{2E_0}{\hbar\omega} - 1 \right) a_0 = 0 \quad \Rightarrow \quad E_0 = \frac{\hbar\omega}{2}$$

$$\psi_0(\xi) = a_0 e^{-\xi^2/2}$$

$$1 = \int_{-\infty}^{+\infty} |\psi_0(x)|^2 dx = a_0^2 \sqrt{\frac{\hbar}{m\omega}} \int_{-\infty}^{+\infty} e^{-\xi^2} d\xi = a_0^2 \sqrt{\frac{\pi\hbar}{m\omega}} \quad \Rightarrow \quad a_0 = \left(\frac{m\omega}{\pi\hbar} \right)^{\frac{1}{4}}$$

$$\psi_0(x) = \left(\frac{m\omega}{\pi\hbar} \right)^{\frac{1}{4}} \exp \left[-\frac{m\omega}{2\hbar} x^2 \right]$$

$$\rho_0(x) = |\psi_0(x)|^2 = \sqrt{\frac{m\omega}{\pi\hbar}} \exp \left[-\frac{m\omega}{\hbar} x^2 \right] \quad \text{— распределение Гаусса с}$$

$$\bar{x} = 0 \quad \sigma^2 = \hbar/(2m\omega)$$

Частица в δ -образном потенциале

$$U(x) = A\delta(x)$$

$$A = \text{const} < 0$$

$$E = -|E|$$

$$\psi'' + 2q\delta(x)\psi - k^2\psi = 0$$

$$k = \frac{\sqrt{2m|E|}}{\hbar}$$

$$q = \frac{m|A|}{\hbar^2}$$

$$x \in (-\infty, -\varepsilon) \cup (\varepsilon, \infty)$$

$$\psi'' - k^2\psi = 0$$

$$\psi_1(x) = C_1 e^{kx}$$

$$\psi_3(x) = C_3 e^{-kx}$$

$$\psi_1(0) = \psi_2(0) = \psi_3(0)$$

$$C_1 = C_3 \equiv C$$

$$\psi_2(0) = C$$

$$\left. \frac{d\psi_1}{dx} \right|_{x=-\varepsilon} = Cke^{-k\varepsilon} = \left. \frac{d\psi_2}{dx} \right|_{x=-\varepsilon}$$

$$\left. \frac{d\psi_3}{dx} \right|_{x=\varepsilon} = -Cke^{-k\varepsilon} = \left. \frac{d\psi_2}{dx} \right|_{x=\varepsilon}$$

$$x \in (-\varepsilon, \varepsilon)$$

$$\int_{-\varepsilon}^{\varepsilon} \psi'' dx + \int_{-\varepsilon}^{\varepsilon} 2q\delta(x)\psi_2(x) dx - \int_{-\varepsilon}^{\varepsilon} k^2\psi_2(x) dx = 0$$

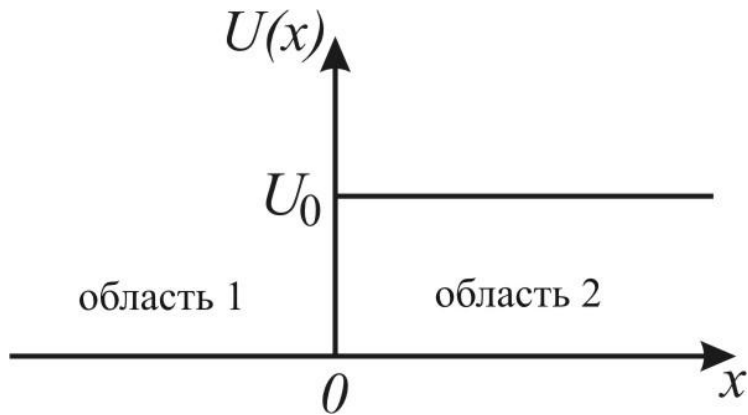
$$k = q$$

$$E = -\frac{mA^2}{2\hbar^2}$$

$$\psi(x) = Ce^{-q|x|} \quad 1 = \int_{-\infty}^{+\infty} |\psi|^2 dx = 2|C|^2 \int_0^{+\infty} e^{-2qx} dx = \frac{|C|^2}{q} = \frac{|C|^2 \hbar^2}{m|A|}$$

$$\psi(x) = \frac{\sqrt{m|A|}}{\hbar} \exp\left(-\frac{m|A|}{\hbar^2}|x|\right)$$

Рассеяние на прямоугольной ступеньке



Случай $E > U_0$

$$\psi_1'' + k_1^2 \psi_1 = 0 \quad k_1 = \frac{\sqrt{2mE}}{\hbar}$$

$$\psi_1(x) = e^{ik_1x} + A_{\text{отр}} e^{-ik_1x}$$

$$\psi_2'' + k_2^2 \psi_2 = 0 \quad k_2 = \frac{\sqrt{2m(E - U_0)}}{\hbar}$$

$$\psi_2(x) = A_{\text{прош}} e^{ik_2x}$$

$$\psi_1(0) = \psi_2(0) \Rightarrow 1 + A_{\text{отр}} = A_{\text{прош}}$$

$$\psi_1'(0) = \psi_2'(0) \Rightarrow 1 - A_{\text{отр}} = \frac{k_2}{k_1} A_{\text{прош}}$$

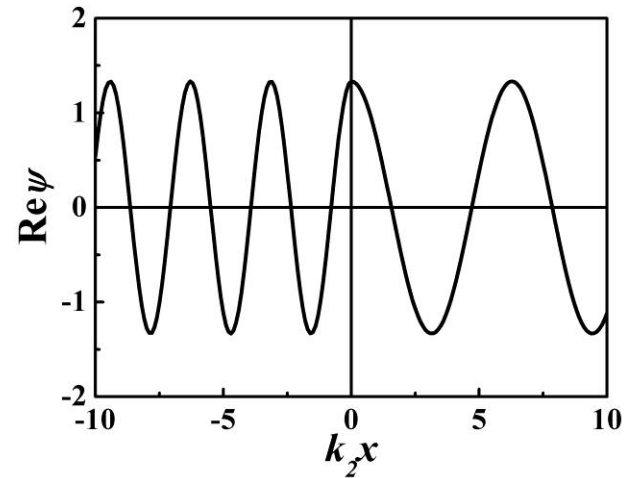
$$A_{\text{отр}} = \frac{k_1 - k_2}{k_1 + k_2}$$

$$A_{\text{прош}} = \frac{2k_1}{k_1 + k_2}$$

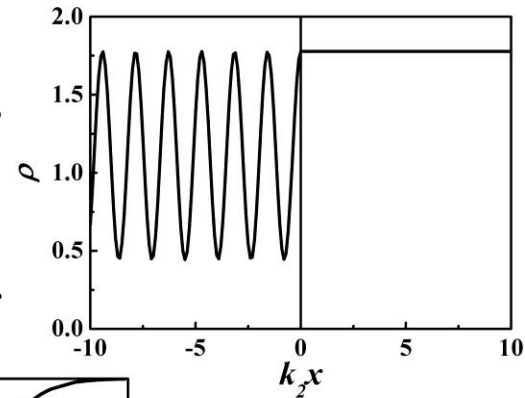
Рассеяние на прямоугольной ступеньке

Случай $E > U_0$

$$\psi(x) = \begin{cases} e^{ik_1x} + \frac{k_1 - k_2}{k_1 + k_2} e^{-ik_1x}, & \text{при } x < 0; \\ \frac{2k_1}{k_1 + k_2} e^{ik_2x}, & \text{при } x \geq 0. \end{cases}$$

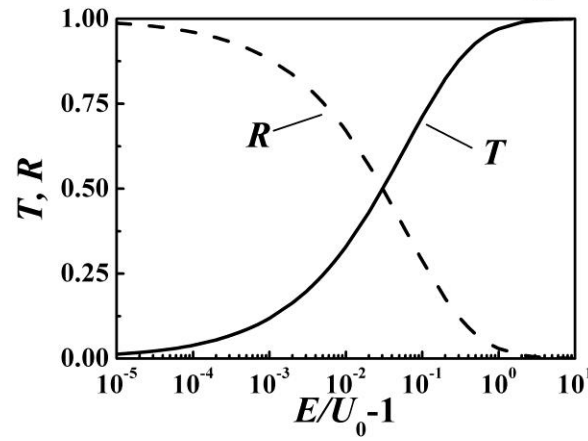


$$\rho(x) = \begin{cases} 1 + 2 \left(\frac{k_1 - k_2}{k_1 + k_2} \right) \cos(2k_1x) + \left(\frac{k_1 - k_2}{k_1 + k_2} \right)^2, & \text{при } x < 0; \\ \frac{4k_1^2}{(k_1 + k_2)^2}, & \text{при } x \geq 0. \end{cases}$$



$$R = \left| \frac{j_x^{\text{отр}}}{j_x^{\text{пад}}} \right| = |A_{\text{отр}}|^2 = \left(\frac{k_1 - k_2}{k_1 + k_2} \right)^2$$

$$T = \left| \frac{j_x^{\text{прош}}}{j_x^{\text{пад}}} \right| = \frac{k_2}{k_1} |A_{\text{прош}}|^2 = \frac{4k_1k_2}{(k_1 + k_2)^2}$$



Рассеяние на прямоугольной ступеньке

Случай $0 < E < U_0$

$$\psi_1'' + k_1^2 \psi_1 = 0$$

$$\psi_1(x) = e^{ik_1x} + A_{\text{отр}} e^{-ik_1x}$$

$$\psi_2'' - q^2 \psi_2 = 0$$

$$\psi_2(x) = A_{\text{прош}} e^{-qx}$$

$$A_{\text{отр}} = e^{i\delta_{\text{отр}}}$$

$$\delta_{\text{отр}} = \text{arctg} \left(-\frac{2k_1q}{k_1^2 - q^2} \right)$$

$$A_{\text{прош}} = \frac{2k_1}{\sqrt{k_1^2 + q^2}} e^{i\delta_{\text{прош}}}$$

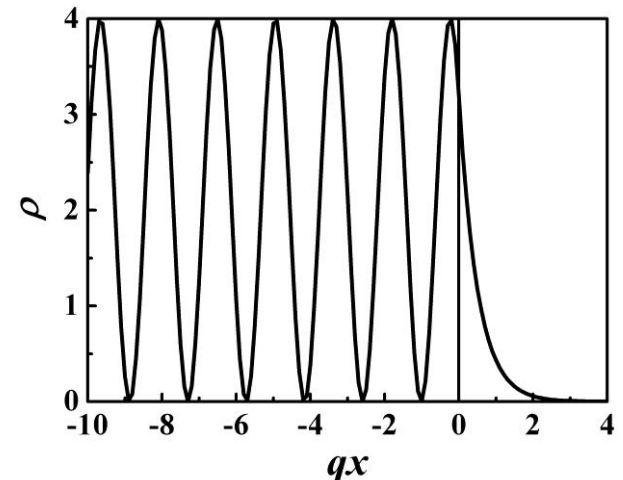
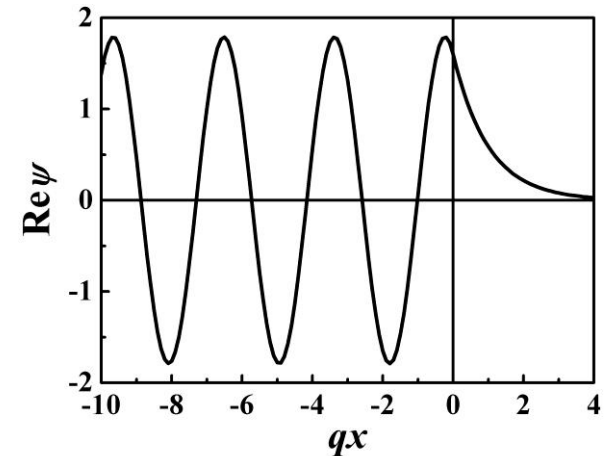
$$\delta_{\text{прош}} = \text{arctg} \left(-\frac{q}{k_1} \right)$$

$$\psi(x) = \begin{cases} e^{ik_1x} + e^{-ik_1x + i\delta_{\text{отр}}}, & \text{при } x < 0; \\ \frac{2k_1}{\sqrt{k_1^2 + q^2}} e^{-qx + i\delta_{\text{прош}}}, & \text{при } x \geq 0. \end{cases}$$

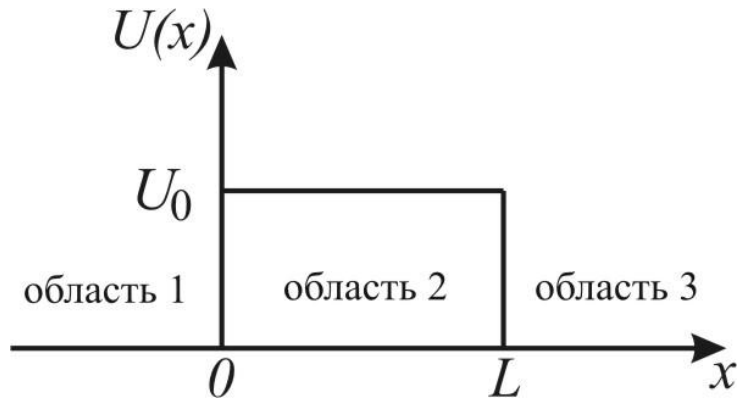
$$\rho(x) = \begin{cases} 2 + 2\cos(2k_1x - \delta_{\text{отр}}), & \text{при } x < 0; \\ \frac{4k_1^2}{k_1^2 + q^2} e^{-2qx}, & \text{при } x \geq 0. \end{cases}$$

$$k_1 = \frac{\sqrt{2mE}}{\hbar}$$

$$q = \frac{\sqrt{2m(U_0 - E)}}{\hbar}$$



Рассеяние на прямоугольном барьере



Случай $E > U_0$

$$\psi''_{1,3} + k_1^2 \psi_{1,3} = 0$$

$$\psi''_2 + k_2^2 \psi_2 = 0$$

$$k_1 = \frac{\sqrt{2mE}}{\hbar}$$

$$k_2 = \frac{\sqrt{2m(E - U_0)}}{\hbar}$$

$$\psi_1(x) = e^{ik_1x} + A_{\text{отр}} e^{-ik_1x}$$

$$\psi_2(x) = B e^{ik_2x} + C e^{-ik_2x}$$

$$\psi_3(x) = A_{\text{прош}} e^{ik_1x}$$

$$\psi_1(0) = \psi_2(0) \Rightarrow 1 + A_{\text{отр}} = B + C$$

$$\psi_2(L) = \psi_3(L) \Rightarrow B e^{ik_2L} + C e^{-ik_2L} = A_{\text{прош}} e^{ik_1L}$$

$$\psi'_1(0) = \psi'_2(0) \Rightarrow k_1(1 - A_{\text{отр}}) = k_2(B - C)$$

$$\psi'_2(L) = \psi'_3(L) \Rightarrow k_2(B e^{ik_2L} - C e^{-ik_2L}) = k_1 A_{\text{прош}} e^{ik_1L}$$

$$A_{\text{прош}} = \frac{4k_1 k_2 e^{i(k_2 - k_1)L}}{(k_1 + k_2)^2 - (k_1 - k_2)^2 e^{2ik_2L}}$$

$$T = \frac{4k_1^2 k_2^2}{4k_1^2 k_2^2 + (k_1^2 - k_2^2)^2 \sin^2(k_2 L)}$$

Заметим, что $T = 1$ при $k_2 L = \pi n$, где $n = 1, 2, 3, \dots$

Рассеяние на прямоугольном барьере

Случай

$$0 < E < U_0$$

$$\psi_2(x) = Be^{-qx} + Ce^{qx}$$

$$q = \frac{\sqrt{2m(U_0 - E)}}{\hbar}$$

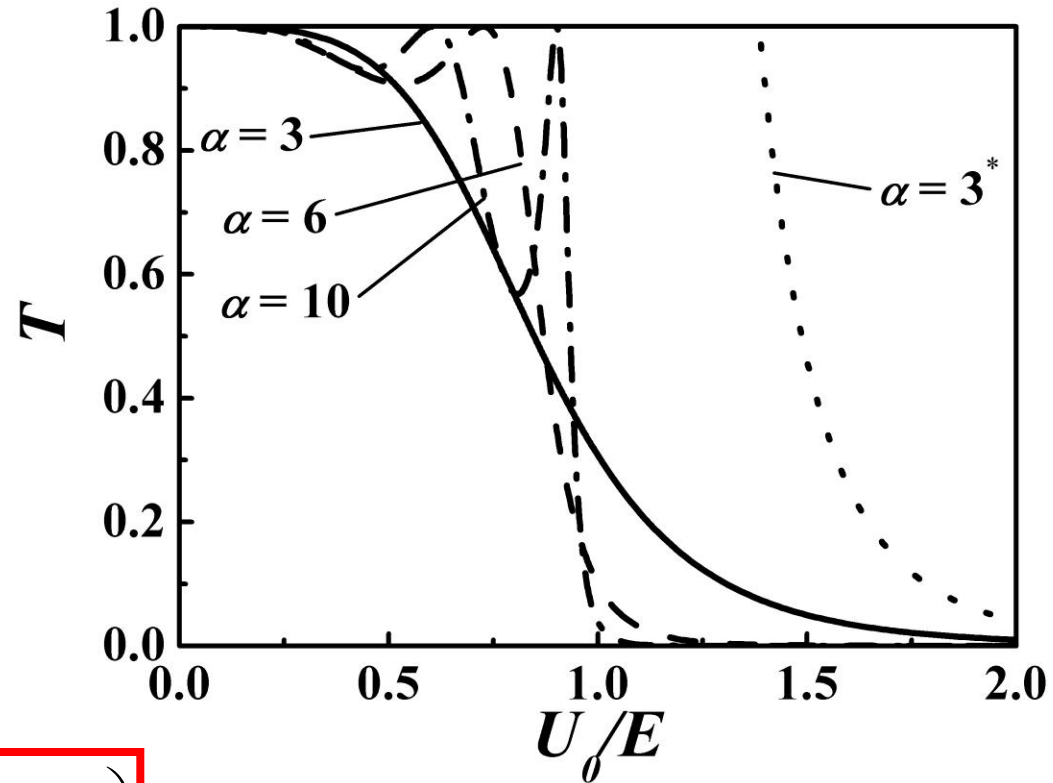
$$k_2 \rightarrow iq$$

$$T = \frac{4k_1^2 q^2}{4k_1^2 q^2 + (k_1^2 + q^2)^2 \operatorname{sh}^2(qL)}$$

При $q \gg k_1$ и $qL \gg 1$

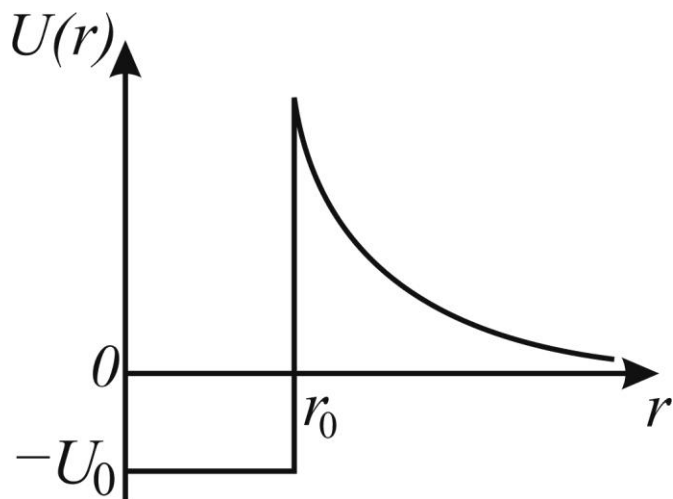
получим

$$T \approx \frac{16E}{U_0 - E} \exp\left(-\frac{2}{\hbar} \sqrt{2m(U_0 - E)} \cdot L\right)$$



$$\alpha = \sqrt{2mE} \cdot L/\hbar$$

α -распад ядра



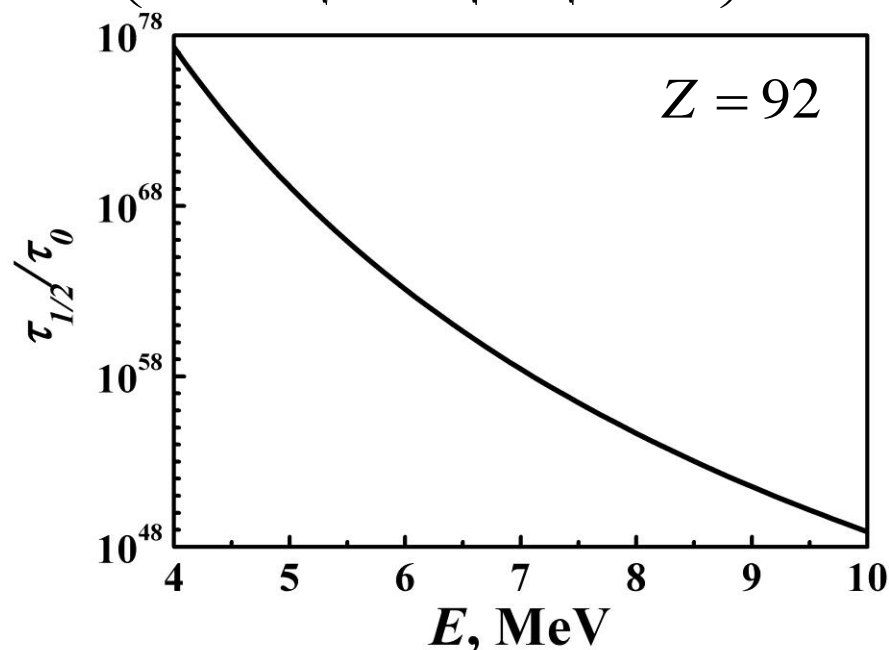
$$U(r) = \begin{cases} -U_0 & \text{при } r \leq r_0 \\ \frac{\alpha}{r} & \text{при } r > r_0 \end{cases} \quad \alpha = \frac{2(Z-2)q_e^2}{4\pi\epsilon_0}$$

$$T = T_0 \exp\left(-\frac{2}{\hbar} \int_{r_0}^{r_1} \sqrt{2m(U(r) - E)} dr\right) \quad r_1 = \frac{\alpha}{E}$$

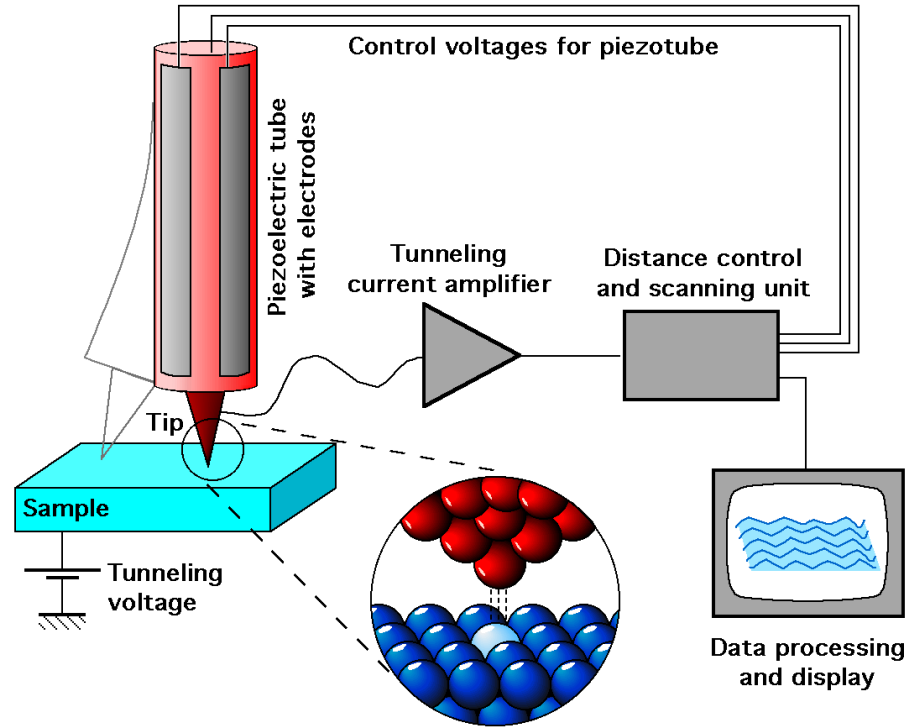
$$I = \int_{r_0}^{r_1} \sqrt{2m\left(\frac{\alpha}{r} - E\right)} dr = r_1 \sqrt{2mE} \left(\arccos \sqrt{\frac{r_0}{r_1}} - \sqrt{\frac{r_0}{r_1}} \sqrt{1 - \frac{r_0}{r_1}} \right) \approx \frac{\pi\alpha}{2} \sqrt{\frac{2m}{E}}$$

$$T = T_0 \exp\left(-\frac{\pi\alpha}{\hbar} \sqrt{\frac{2m}{E}}\right)$$

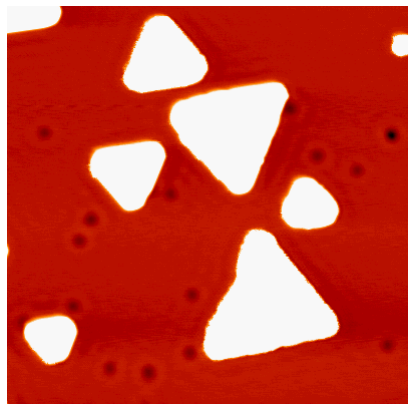
$$\tau_{1/2} = \tau_0 \exp\left(\frac{\pi\alpha}{\hbar} \sqrt{\frac{2m}{E}}\right)$$



Сканирующий туннельный микроскоп (СТМ)

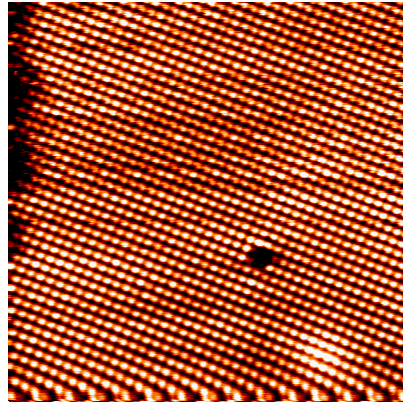


Co islands on Cu(111)

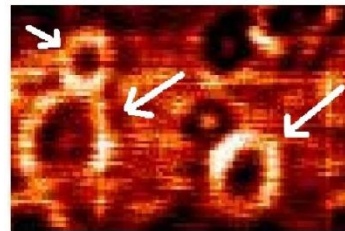


42 x 42 nm²

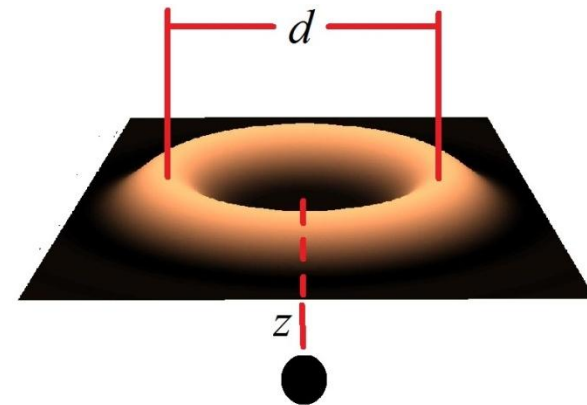
Cu(001)



10 x 10 nm²



(a)



(b)

Рассеяние на δ -образном потенциале

$$U(x) = A\delta(x)$$

$$A = \text{const} > 0$$

$$E > 0$$

$$\psi'' - 2q\delta(x)\psi + k^2\psi = 0$$

$$k = \frac{\sqrt{2mE}}{\hbar}$$

$$q = \frac{mA}{\hbar^2}$$

$$x \in (-\infty, -\varepsilon) \cup (\varepsilon, \infty) \quad \psi'' + k^2\psi = 0 \quad \begin{cases} \psi_1(x) = e^{ikx} + A_{\text{отр}} e^{-ikx} & \text{при } x < -\varepsilon \\ \psi_3(x) = A_{\text{прош}} e^{ikx} & \text{при } x > \varepsilon \end{cases}$$

$$\psi_1(0) = \psi_2(0) = \psi_3(0)$$

$$1 + A_{\text{отр}} = A_{\text{прош}} = \psi_2(0)$$

$$\psi_1'(-0) = ik(1 - A_{\text{отр}}) = \psi_2'(-0)$$

$$\psi_3'(0) = ikA_{\text{прош}} = \psi_2'(0)$$

$$\int_{-\varepsilon}^{\varepsilon} \psi'' dx - \int_{-\varepsilon}^{\varepsilon} 2q\delta(x)\psi_2(x) dx + \int_{-\varepsilon}^{\varepsilon} k^2\psi_2(x) dx = 0$$

$$1 - A_{\text{отр}} = A_{\text{прош}} \left(1 - \frac{2q}{ik}\right)$$

$$A_{\text{прош}} = \left(1 + \frac{iq}{k}\right)^{-1}$$

$$T = \frac{1}{1 + \frac{mA^2}{2\hbar^2 E}}$$

Квазистационарное состояние

$$U(x) = \begin{cases} A\delta(x), & |x| \leq a, \\ U_0, & |x| > a, \end{cases} \quad A < 0 \quad U_0 < 0 \quad |U_0| > \frac{mA^2}{2\hbar^2} \quad \frac{m^2 A^2 a^2}{\hbar^4} \gg 1$$

$$\psi_{1,5}'' + k^2 \psi_{1,5} = 0 \quad k = \frac{\sqrt{2m(E - U_0)}}{\hbar} \quad q = \frac{\sqrt{2m|E|}}{\hbar} \quad \eta = \frac{m|A|}{\hbar^2}$$

$$\psi_{2,4}'' - q^2 \psi_{2,4} = 0$$

$$\psi_1(x) = C_1 e^{-ikx} \quad \psi_2(x) = C_{21} e^{qx} + C_{22} e^{-qx}$$

$$\psi_3'' + 2\eta\delta(x)\psi_3 - q^2\psi_3 = 0$$

$$\psi_5(x) = C_5 e^{ikx} \quad \psi_4(x) = C_{41} e^{qx} + C_{42} e^{-qx}$$

$$q - \eta = (q + \eta) \frac{q^2 - k^2 + 2ikq}{q^2 + k^2} e^{-2qa}$$

$$E = -|E_0| + E_1 - iE_2$$

$$E_0 = -\frac{mA^2}{2\hbar^2}$$

$$E_1 = -8 \frac{|E_0|^2}{|U_0|} \left(1 - \frac{1}{2} \frac{|U_0|}{|E_0|} \right) \exp\left(-\frac{2}{\hbar} \sqrt{2m|E_0|} a \right)$$

$$\Psi(x, t) = \psi(x) \exp\left(-\frac{i}{\hbar} E t \right)$$

$$E_2 = 8 \frac{|E_0|^2}{|U_0|} \sqrt{\frac{|U_0|}{|E_0|} - 1} \exp\left(-\frac{2}{\hbar} \sqrt{2m|E_0|} a \right)$$

$$\rho(x, t) = |\psi(x)|^2 \exp\left(-\frac{2E_2 t}{\hbar} \right)$$

Время жизни частицы

$$\tau = \frac{\hbar}{2E_2} = \frac{\hbar|U_0|}{16|E_0|^2} \left(\left| \frac{U_0}{E_0} \right| - 1 \right)^{-1/2} \exp\left(\frac{2}{\hbar} \sqrt{2m|E_0|} a \right)$$

Список литературы (часть 3):

- Иродов И.Е. Физика макросистем. Основные законы. М: Бином, 2001. 196 с.
- Матвеев А.Н. Молекулярная физика. М: Высшая школа, 1981. 400 с.
- Фейнман Р. Фейнмановские лекции по физике, т.9, М: Мир, 1967. 260 с.
- Киттель Ч. Введение в физику твердого тела. М: Наука, 1978. 792 с.

Квантовое описание системы многих частиц

$$\hat{H}\psi(x_1, x_2) = E\psi(x_1, x_2)$$

$$\hat{H} = \hat{H}_1 + \hat{H}_2 + U(x_1, x_2)$$

$$\hat{H}_1 = -\frac{\hbar^2}{2m} \frac{\partial^2}{\partial x_1^2} + U(x_1)$$

$$\hat{H}_2 = -\frac{\hbar^2}{2m} \frac{\partial^2}{\partial x_2^2} + U(x_2)$$

$$U(x_1, x_2)$$

энергия
взаимодействия

Невзаимодействующие частицы

$$U(x_1, x_2) = 0$$

$$\psi(x_1, x_2) = \psi_a(x_1)\psi_b(x_2)$$

$$\psi(x_2, x_1) = \psi_a(x_2)\psi_b(x_1) \neq \psi(x_1, x_2)$$

$$\psi_S(x_1, x_2) = \frac{1}{\sqrt{2}} \{ \psi_a(x_1)\psi_b(x_2) + \psi_a(x_2)\psi_b(x_1) \}$$

Бозоны $S=0, 1, 2, \dots$

$$\psi_A(x_1, x_2) = \frac{1}{\sqrt{2}} \{ \psi_a(x_1)\psi_b(x_2) - \psi_a(x_2)\psi_b(x_1) \}$$

Фермионы $S=1/2, 3/2, \dots$

Фермионы

FERMIONS

matter constituents
spin = 1/2, 3/2, 5/2, ...

Leptons spin = 1/2

Flavor	Mass GeV/c ²	Electric charge
ν_L lightest neutrino*	$(0-0.13)\times 10^{-9}$	0
e electron	0.000511	-1
ν_M middle neutrino*	$(0.009-0.13)\times 10^{-9}$	0
μ muon	0.106	-1
ν_H heaviest neutrino*	$(0.04-0.14)\times 10^{-9}$	0
τ tau	1.777	-1

Quarks spin = 1/2





Flavor	Approx. Mass GeV/c ²	Electric charge
u up	0.002	2/3
d down	0.005	-1/3
c charm	1.3	2/3
s strange	0.1	-1/3
t top	173	2/3
b bottom	4.2	-1/3

Бозоны


BOSONS

force carriers
spin = 0, 1, 2, ...

Unified Electroweak spin = 1

Name	Mass GeV/c ²	Electric charge
 photon	0	0
 W bosons	80.39	-1
 W bosons	80.39	+1
 Z boson	91.188	0

Strong (color) spin = 1

Name	Mass GeV/c ²	Electric charge
 gluon	0	0

Распределения Ферми-Дирака и Бозе-Эйнштейна

Частицы с полуцелым спином (фермионы) подчиняются статистике Ферми-Дирака с распределением

$$\langle n_k \rangle = \frac{1}{e^{(E_k - \mu)/kT} + 1} \quad 0 \leq \langle n_k \rangle \leq 1 \quad \mu > 0$$

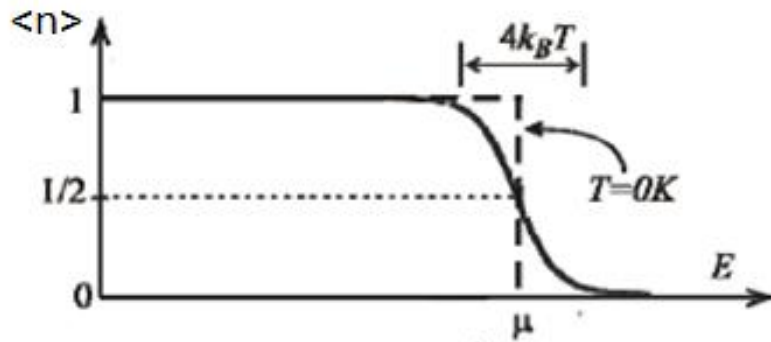
Частицы с целым спином (бозоны) подчиняются статистике Бозе-Эйнштейна с распределением

$$\langle n_k \rangle = \frac{1}{e^{(E_k - \mu)/kT} - 1} \quad \langle n_k \rangle \geq 0 \quad \mu \leq 0$$

μ - химический потенциал, находится из условия нормировки

$$\sum_k \frac{1}{e^{(E_k - \mu)/kT} \pm 1} = N \quad \text{где } N \text{ - полное число частиц}$$

Свойства распределения Ферми-Дирака



$$\langle n_k \rangle = \frac{1}{e^{(E_k - \mu)/kT} + 1}$$

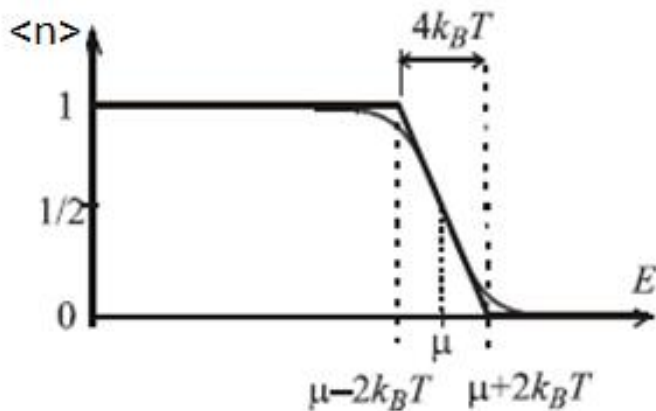
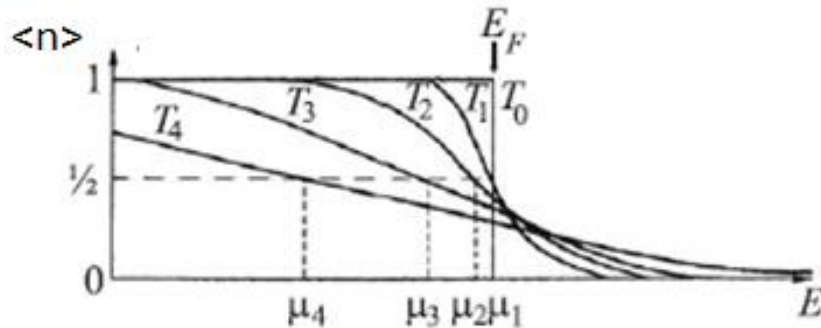
$$\langle n_k(E = \mu) \rangle = \frac{1}{2}$$

$$E_F = \mu(T = 0)$$

для электронного газа
в металлах:

$$E_F \sim 5 \text{ эВ} \gg kT_k = \frac{1}{40} \text{ эВ}$$

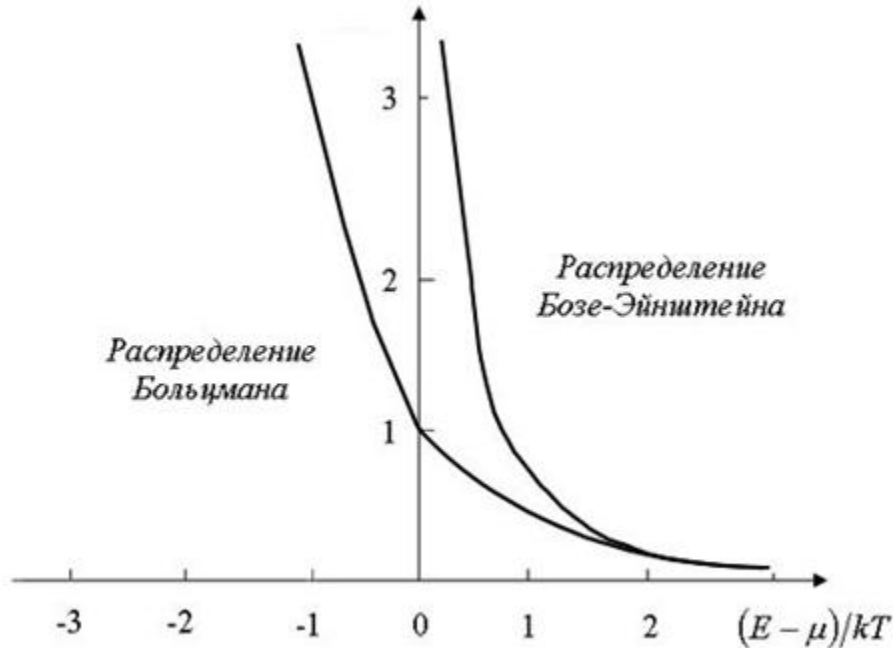
$$T_F = \frac{E_F}{k} \sim 200 T_k \sim 60000 \text{ K}$$



Свойства распределения Бозе-Эйнштейна

$$\langle n_k \rangle = \frac{1}{e^{(E_k - \mu)/kT} - 1}$$

$$\mu \leq 0$$



для фотонного газа :

$$\mu = 0$$



$$\langle n \rangle = \frac{1}{e^{\hbar\omega/kT} - 1}$$

Характеристики электронного газа в металле при $T=0$

$$E_F = \frac{\hbar^2}{2m} (3\pi^2 n)^{2/3} \quad n = 5 \cdot 10^{22} \text{ см}^{-3} \quad \Rightarrow \quad E_F = 5 \text{ эВ}$$

$$\langle E \rangle = \frac{\int_0^{E_F} E \sqrt{E} dE}{\int_0^{E_F} \sqrt{E} dE} = \frac{3}{5} E_F = 3 \text{ эВ}$$

Классический газ:

$$T \sim 4 \cdot 10^4 \text{ К}$$

$$v_{\max} \equiv v_F = \sqrt{2E_F / m} = 1.3 \cdot 10^3 \text{ км / сек} \neq 0 \quad v_F \ll c$$

$$\lambda_F = \frac{h}{p_F} = \frac{h}{mv_F} = \frac{6.63 \cdot 10^{-34} \text{ Дж} \cdot \text{с}}{1.3 \cdot 10^6 (\text{м / с}) 0.9 \cdot 10^{-30} \text{ кг}} = 5.5 \cdot 10^{-10} \text{ м} = 5.5 \text{ \AA}$$

Электронный газ в металле при $0 < T \ll T_F$

Асимптотическое разложение интегралов вида

$$I = \int_0^{\infty} \frac{F(E)dE}{e^{(E-\mu)/kT} + 1}$$

при $kT \ll \mu$ имеет вид:

$$I = \int_0^{\mu} F(E)dE + \frac{\pi^2}{6} (kT)^2 F'(\mu) + \dots$$

Химический потенциал

$$\mu(T) = E_F \left[1 - \frac{\pi^2}{12} \left(\frac{kT}{E_F} \right)^2 \right]$$

Средняя энергия

$$\langle E \rangle = \frac{3}{5} E_F + \frac{\pi^2}{4} \frac{(kT)^2}{E_F}$$

Теплоемкость

$$C_V = \frac{\pi^2}{2} R \left(\frac{kT}{E_F} \right)$$

Конденсация Бозе-Эйнштейна

При температуре $T = T_{BEC}$ химический потенциал бозонов становится равным нулю.

Распределение бозонов по энергии принимает вид:

$$f(E) = (2s + 1) \frac{1}{n} \frac{m^{3/2}}{\sqrt{2\pi^2 \hbar^3}} \frac{\sqrt{E}}{\exp\left(\frac{E}{kT_{BEC}}\right) - 1}$$

Из условия нормировки получим:

$$T_{BEC} = \frac{3,31}{(2s + 1)^{2/3}} \frac{\hbar^2}{mk} n^{2/3}$$

Концентрация конденсата при $T < T_{BEC}$ равна

$$n_{BEC} = n \left[1 - \left(\frac{T}{T_{BEC}} \right)^{3/2} \right]$$

ФОТОННЫЙ ГАЗ

Для фотонов $2S+1=2$ из-за поперечности электромагнитной волны

$$dN_{\text{сост}} = 2 \frac{4\pi p^2 dp}{(2\pi\hbar)^3} \quad dN = \langle n \rangle dN_{\text{сост}} \quad \langle n \rangle = \frac{1}{e^{\hbar\omega/kT} - 1}$$

$$E = \hbar\omega = cp \Rightarrow dE = cdp$$

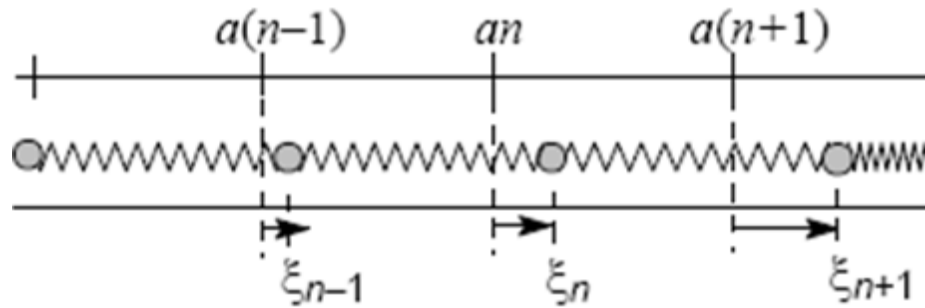
$$dN_{\text{сост}} = 2 \frac{4\pi E^2}{(2\pi\hbar)^3 c^3} dE = \frac{\omega^2}{\pi^2 c^3} d\omega$$

Спектральная плотность энергии (для единицы объема):

$$\rho(\omega, T) = \hbar\omega \langle n \rangle \frac{dN_{\text{сост}}}{d\omega} = \frac{\omega^2}{\pi^2 c^3} \frac{\hbar\omega}{e^{\hbar\omega/kT} - 1}$$

Формула Планка !

Колебания цепочки из одинаковых шариков



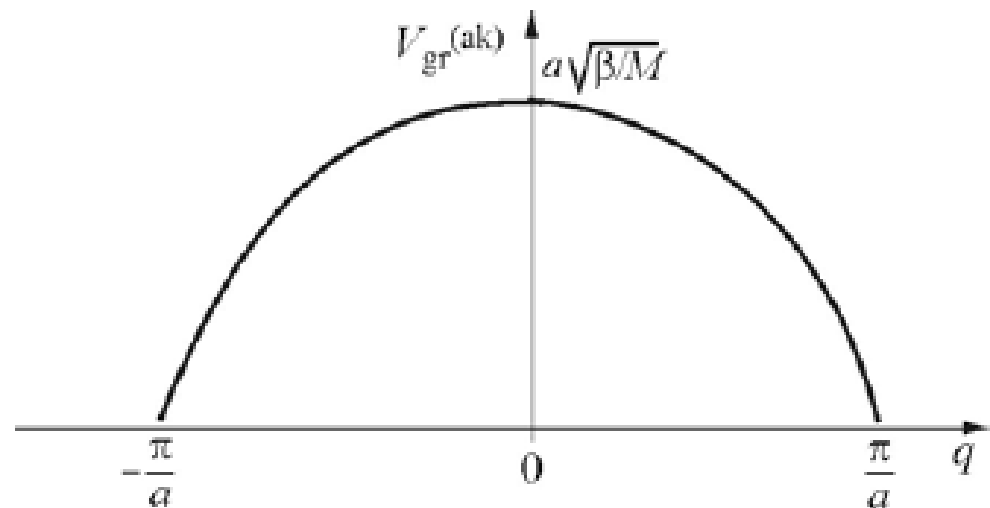
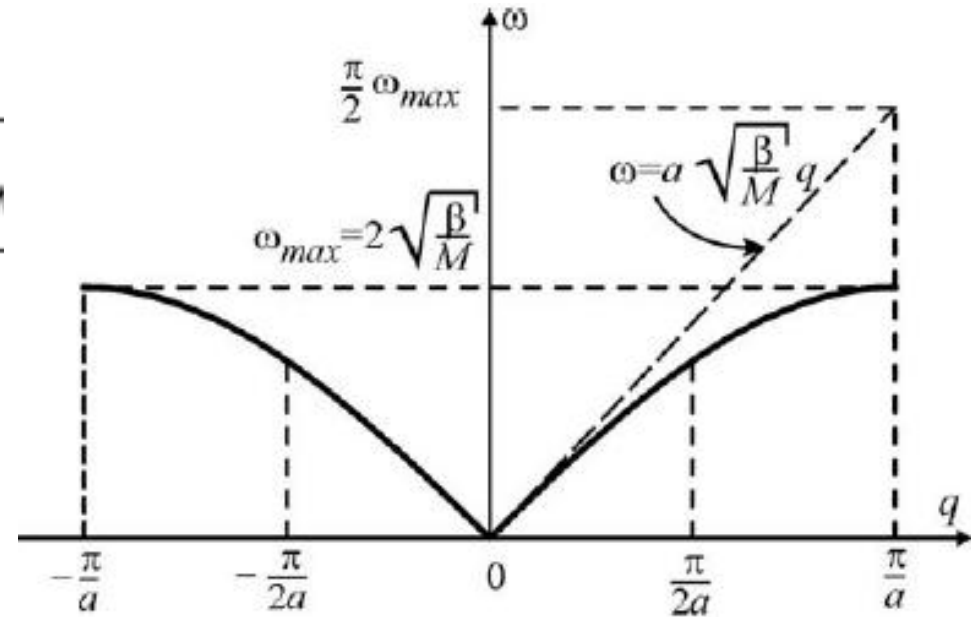
$$M\ddot{\xi}_n = \beta(\xi_{n+1} - \xi_n) - \beta(\xi_n - \xi_{n-1})$$

$$\xi_n = Ae^{i(qan - \omega t)}$$

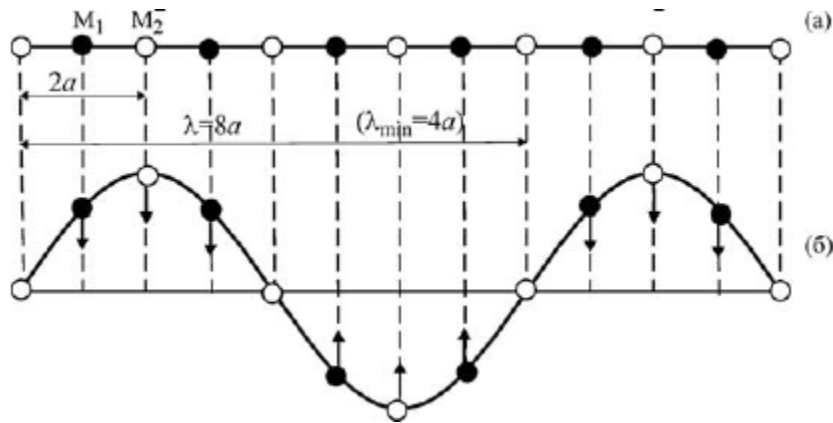
$$\xi(x) = \xi(x + L)$$

$$\omega = \pm 2\sqrt{\frac{\beta}{M}} \sin \frac{qa}{2} = \omega_{\max} \sin \frac{\pm qa}{2}$$

$$\omega_{\max} = 2\sqrt{\beta/M}$$



Колебания цепочки из шариков двух сортов



$$M_1 \ddot{\xi}_{2n} = \beta (\xi_{2n+1} + \xi_{2n-1} - 2\xi_{2n}),$$

$$M_2 \ddot{\xi}_{2n+1} = \beta (\xi_{2n+2} + \xi_{2n} - 2\xi_{2n+1})$$

$$\xi_{2n} = \zeta e^{i(qa2n - \omega t)}$$

$$\xi_{2n+1} = \eta e^{i(qa(2n+1) - \omega t)}$$

$$-\omega^2 M_1 \zeta = \beta \eta (e^{iqa} + e^{-iqa}) - 2\beta \zeta$$

$$-\omega^2 M_2 \eta = \beta \zeta (e^{iqa} + e^{-iqa}) - 2\beta \eta$$

$$\begin{vmatrix} 2\beta - \omega^2 M_1 & -2\beta \cos qa \\ -2\beta \cos qa & 2\beta - \omega^2 M_2 \end{vmatrix} = 0$$

$$\omega_{\pm}^2 = \beta \left(\frac{1}{M_1} + \frac{1}{M_2} \right) \pm \beta \sqrt{\left(\frac{1}{M_1} + \frac{1}{M_2} \right)^2 - \frac{4 \sin^2 qa}{M_1 M_2}}$$

Колебания цепочки из шариков двух сортов

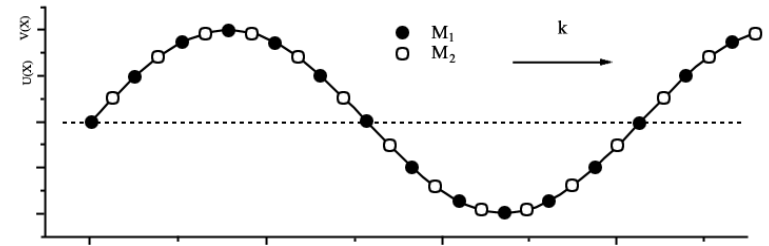
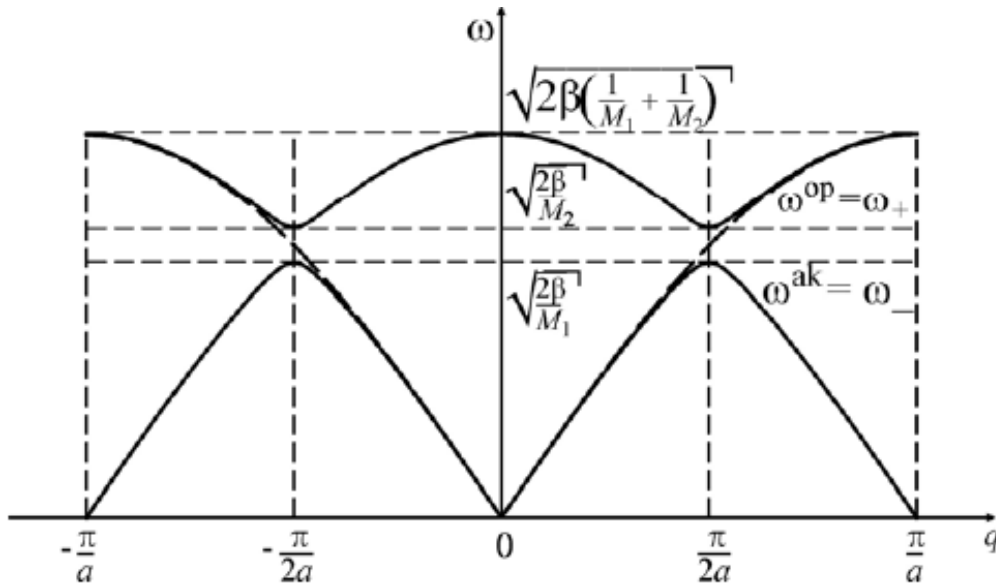
$$qa \ll 1$$

$$\omega_+ \approx \sqrt{2\beta \left(\frac{1}{M_2} + \frac{1}{M_2} \right)}$$

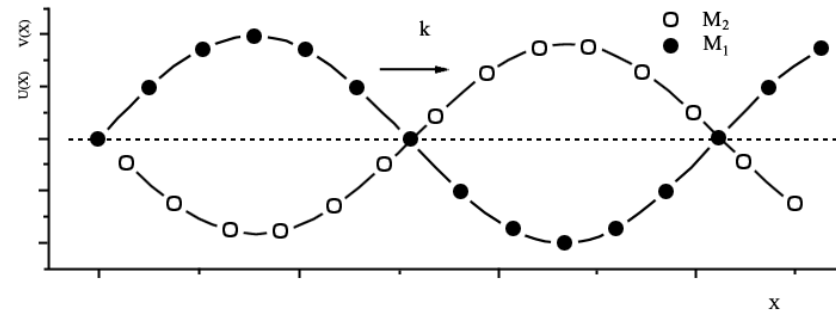
$$\omega_- \approx \left(a \sqrt{\frac{2\beta}{M_1 + M_2}} \right) q$$

$$\omega_-: (\eta/\zeta)_- = 1;$$

$$\omega_+: (\eta/\zeta)_+ = -M_1/M_2.$$



Акустические колебания



Оптические колебания

Переход от классического описания кристалла к квантовому. Фононы

Фононы – это квазичастицы со следующими характеристиками:

1) Энергия и импульс: $E = \hbar\omega$ $\mathbf{p} = \hbar\mathbf{k}$

2) Масса: $m = 0$

3) Спин: $s = 1$

4) Объем квантового состояния: $\Delta p = \frac{(2\pi\hbar)^3}{V}$

Тепловая энергия кристалла:

$$E_{\text{тепл}} = n_1\hbar\omega_1 + n_2\hbar\omega_2 + \dots + n_N\hbar\omega_N$$

Температура Дебая

Температура Дебая – это температура, при которой возбуждаются колебания на всех частотах:

$$k_B T_D = \hbar \omega_{\max}$$

Оценим температуру Дебая для фононов одной поляризации:

$$\omega = c_{\text{зв}} k \quad \text{– закон дисперсии}$$

$$N_{\text{сост}} = N_{\text{ат}} = \frac{k_{\max}^3}{6\pi^2} V$$

$$T_D = \frac{\hbar}{k_B} c_{\text{зв}} \left(6\pi^2 n \right)^{1/3} \quad n = \frac{N}{V}$$

Температуры Дебая:

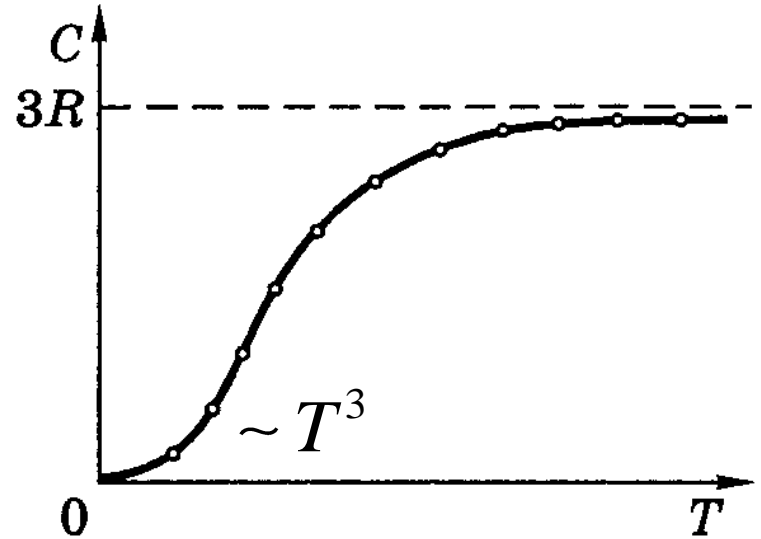
свинец	90К
медь	340К
кремний	650К
алмаз	~2000К

Теплоемкость кристаллической решетки

Общий алгоритм вычисления теплоемкости

вычисляется внутренняя
энергия

$$E(T) \Rightarrow C = \frac{\partial E}{\partial T}$$



Классическая модель. Формула Дюлонга и Пти

TT – совокупность N независимых атомов, по 3 колебательных степени свободы на атом

$$E(T) = 3N_A \cdot k_B T$$

$$C(T) = 3R$$

Модель Эйнштейна

ТТ – совокупность $3N$ независимых *квантовых* осцилляторов, колеблющихся с *одинаковой частотой* ω (или свободный газ фононов с законом дисперсии $\omega = \text{const}$)

$$E = 3N_A \hbar \omega \langle n \rangle = 3N_A \frac{\hbar \omega}{e^{\frac{\hbar \omega}{k_B T}} - 1}$$

$$C = \frac{\partial E}{\partial T} = 3R \left(\frac{\hbar \omega}{k_B T} \right)^2 \frac{e^{\frac{\hbar \omega}{k_B T}}}{\left(e^{\frac{\hbar \omega}{k_B T}} - 1 \right)^2}$$

При высоких Т: $k_B T \gg \hbar \omega \Rightarrow C = 3R$

При низких Т: $k_B T \ll \hbar \omega \quad C \sim \frac{1}{T^2} e^{-\frac{\hbar \omega}{k_B T}} \rightarrow 0$

Модель Дебая

Теплоемкость ТТ определяется как теплоемкость свободного газа фононов с линейным законом дисперсии $\omega = c_{3B} k$

Плотность состояний фононов равна

$$\frac{dn_{\text{сост}}}{d\omega} = \frac{3}{2} V \frac{\omega^2}{\pi^2 \bar{c}^3} \quad \text{где } \bar{c} \text{ – средняя скорость звука:}$$
$$\frac{3}{\bar{c}^3} = \frac{1}{c_{\parallel}^3} + \frac{2}{c_{\perp}^3}$$

Число фононов в интервале частот $(\omega, \omega + d\omega)$ на один атом кристалла:

$$f(\omega) = \frac{1}{N} \frac{dn_{\text{сост}}}{d\omega} \langle n \rangle = \frac{3}{2n} \frac{\omega^2}{\pi^2 \bar{c}^3} \frac{1}{\exp\left(\frac{\hbar\omega}{k_B T}\right) - 1}$$

Модель Дебая (продолжение)

Средняя энергия фононов на один атом кристалла

$$\langle E \rangle = \hbar \langle \omega \rangle = \int_0^{\omega_{\max}} \omega f(\omega) d\omega = 9k \frac{T^4}{T_D^3} \int_0^{T_D/T} \frac{x^3 dx}{e^x - 1}$$

Теплоемкость газа фононов

$$C(T) = 36R \left(\frac{T}{T_D} \right)^3 \int_0^{T_D/T} \frac{x^3 dx}{e^x - 1} - 9R \frac{\left(\frac{T_D}{T} \right)}{\exp\left(\frac{T_D}{T} \right) - 1}$$

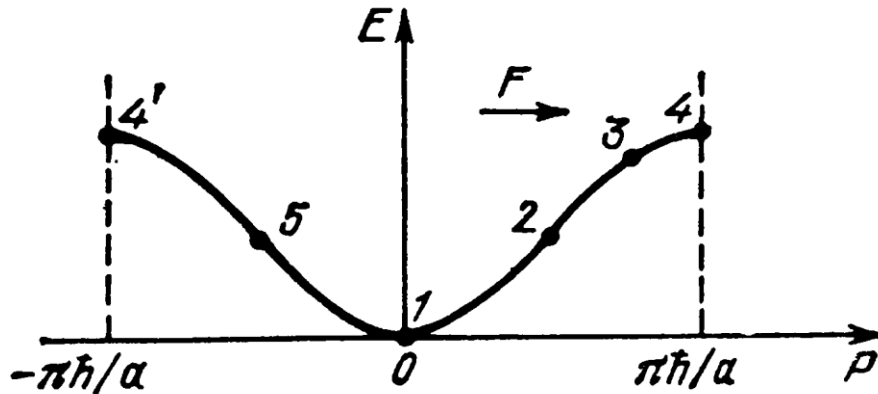
При высоких T: $T \gg T_D \rightarrow C = 3R$

При низких T: $T \ll T_D \rightarrow$

$$C(T) = \frac{12}{5} \pi^4 R \left(\frac{T}{T_D} \right)^3$$

Эффективная масса электрона

$$\omega = \omega(k) \quad \text{или} \quad E = E(p) \quad \text{ВМЕСТО} \quad E = \frac{p^2}{2m}$$



$$v_{\text{гр}} = \left| \frac{d\omega}{dk} \right| = \left| \frac{dE(p)}{dp} \right|$$

$$E = \frac{p^2}{2m_{\text{эфф}}} \quad m_{\text{эфф}} \frac{dv_{\text{гр}}}{dt} = F$$

$$\left\{ \frac{1}{m_{\text{эфф}}} \right\}_{\alpha\beta} = \frac{1}{\hbar^2} \frac{\partial^2 E(k)}{\partial k_{\alpha} \partial k_{\beta}}$$

Фермиевские электроны

Фермиевские электроны – это квазичастицы, описывающие движение электронов в периодической решетке, со следующими характеристиками:

1) Энергия и импульс: $E = \hbar\omega$ $p = \hbar k$

2) Масса: $m = m_{\text{эфф}}$

3) Закон дисперсии:

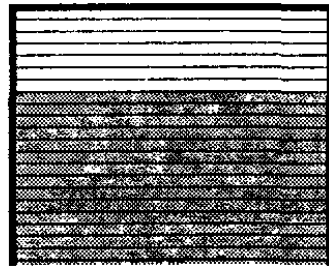
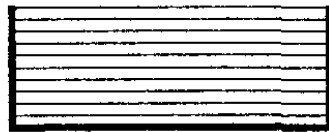
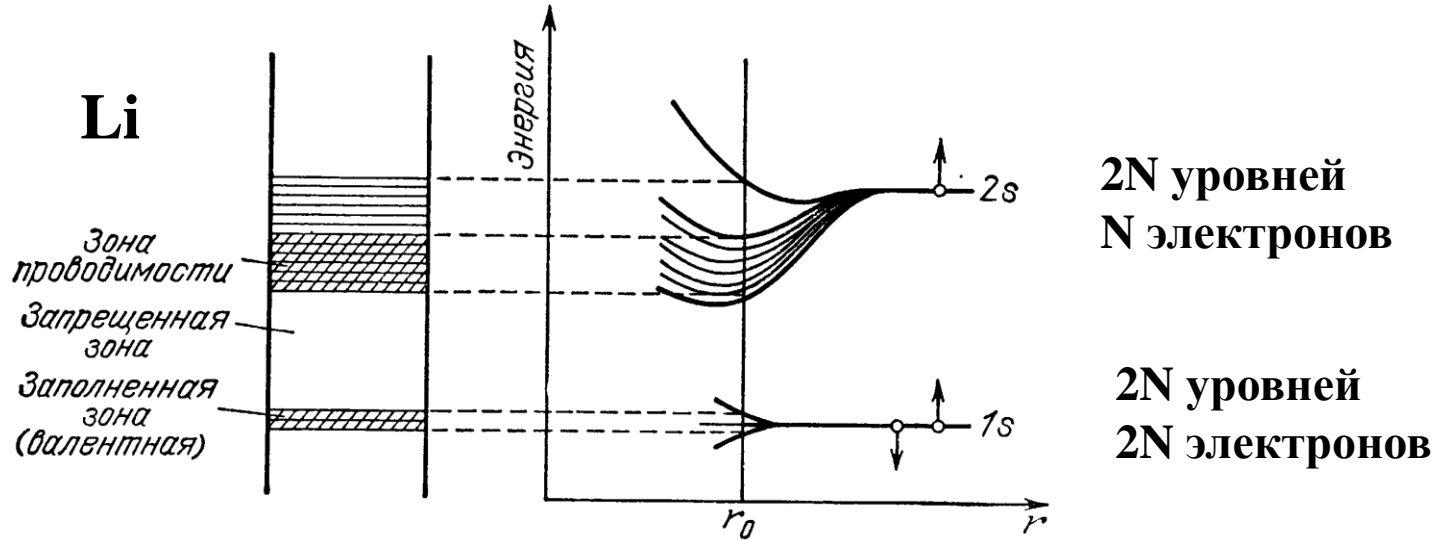
$$E = \frac{p^2}{2m_{\text{эфф}}}$$

4) Спин: $S = \frac{1}{2}$

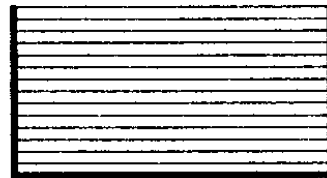
Фермиевские электроны движутся в кристалле, как свободные электроны с массой $m_{\text{эфф}}$.

Энергетические зоны в кристаллах

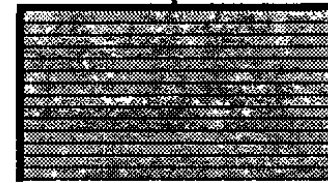
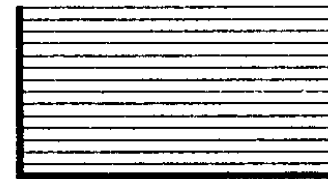
Одновалентные атомы: Li, Na, K, Cu ... - проводники



Металл

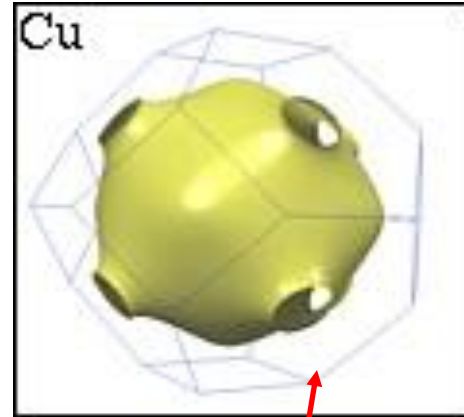
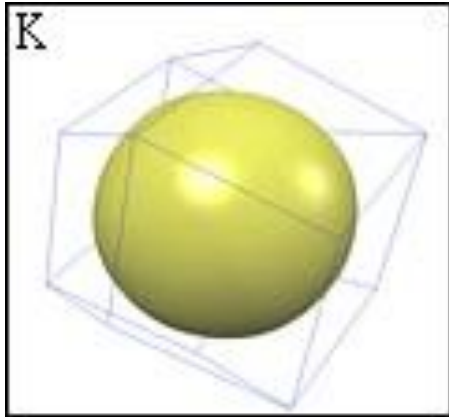


Полупроводник



Диэлектрик

Поверхность Ферми электронов в металлах



1-ая зона Бриллюэна

Спиновые волны в одномерной цепочке

Гамильтониан Гейзенберга:
$$H = -\frac{2J}{\hbar^2} \sum_{n=1}^N \mathbf{s}_n \mathbf{s}_{n+1} = -J \sum_{n=1}^N (\hat{P}_{n,n+1} - 1)$$

Уравнение Шредингера в матричной форме:

$$J > 0$$

$$i\hbar \frac{\partial a_n}{\partial t} = -Ja_{n-1} + 2Ja_n - Ja_{n+1}$$

Ищем решение в виде бегущей волны:
$$a_n(t) = Ce^{i(kan - \omega t)}$$

Закон дисперсии спиновой волны:

$$E(k) = 2J [1 - \cos(ka)] \approx Ja^2 k^2$$

Эффективная масса спиновой волны:

$$m_{\text{эфф}} = \frac{\hbar^2}{2Ja^2}$$

Магноны в ферромагнетике

Магноны – это квазичастицы, описывающие распространение спиновых волн в ферромагнетике, со следующими характеристиками:

1) Энергия и импульс: $E = \hbar\omega$ $p = \hbar k$

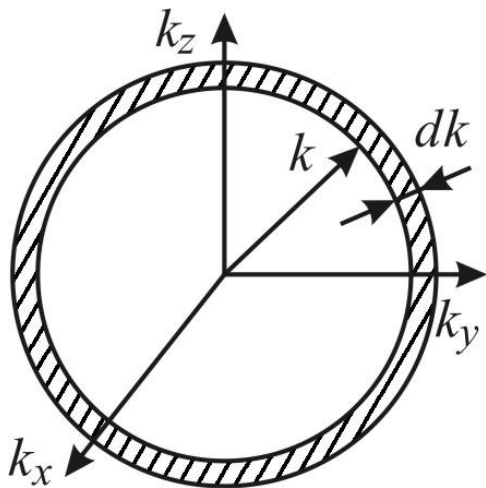
2) Масса: $m = m_{\text{эфф}}$

3) Закон дисперсии: $E = \frac{p^2}{2m_{\text{эфф}}} \approx Ja^2k^2$

4) Спин: $s = 0$ $\mu = 0$

Магноны движутся в кристалле, как свободные бозоны с массой $m_{\text{эфф}}$

Плотность состояний магнонов



$$\omega \approx \frac{Ja^2}{\hbar} k^2$$

$$dn_s = \frac{V_{\text{сф. слой}}}{V_{\text{КВ. СОСТ.}}} = \frac{4\pi k^2 dk}{(2\pi)^3} V = \frac{\sqrt{\omega} d\omega}{4\pi^2} \left(\frac{\hbar}{Ja^2} \right)^{3/2} V$$

Число магнонов в интервале частот $(\omega, \omega+d\omega)$ на один атом кристалла:

$$f(\omega) = \frac{1}{N} \frac{dn_s}{d\omega} \bar{n} = \frac{\sqrt{\omega}}{4\pi^2} \left(\frac{\hbar}{Ja^2} \right)^{3/2} \frac{1}{n} \frac{1}{\exp\left(\frac{\hbar\omega}{k_B T}\right) - 1}$$

Намагниченность ферромагнетика при низкой температуре

При $T = 0$ К намагниченность кристалла равна: $M_0 = \mu_B n$

А при температуре отличной от нуля: $M = \mu_B n - 2\mu_B n_{\text{маг}} = M_0 - |\Delta M|$

Тогда

$$\begin{aligned} \frac{|\Delta M|}{M_0} &= 2 \frac{n_{\text{маг}}}{n} = 2 \int_0^{\omega_{\text{max}}} f(\omega) d\omega = \frac{1}{2\pi^2 n} \left(\frac{\hbar}{Ja^2} \right)^{3/2} \int_0^{\omega_{\text{max}}} \frac{\sqrt{\omega} d\omega}{\exp\left(\frac{\hbar\omega}{k_B T}\right) - 1} \approx \\ &\approx \frac{1}{2\pi^2} \left(\frac{\hbar}{J} \right)^{3/2} \left(\frac{k_B T}{\hbar} \right)^{3/2} \int_0^{\infty} \frac{\sqrt{x} dx}{e^x - 1} = \frac{1}{2\pi^2} \left(\frac{k_B T}{J} \right)^{3/2} \Gamma\left(\frac{3}{2}\right) \zeta\left(\frac{3}{2}\right) \end{aligned}$$

$$\boxed{\frac{|\Delta M|}{M_0} \approx 0,118 \left(\frac{k_B T}{J} \right)^{3/2}} \quad \text{– закон Блоха}$$

Вклад магнонов в теплоемкость ферромагнетика при низкой температуре

Средняя энергия магнонов на один атом кристалла:

$$\begin{aligned}\bar{E} &= \int_0^{\omega_{\max}} \hbar \omega f(\omega) d\omega = \frac{\hbar}{4\pi^2} \left(\frac{\hbar}{Ja^2} \right)^{3/2} \frac{1}{n} \int_0^{\omega_{\max}} \frac{\omega^{3/2}}{\exp\left(\frac{\hbar\omega}{k_B T}\right) - 1} d\omega \approx \\ &\approx \frac{\hbar}{4\pi^2} \left(\frac{\hbar}{J} \right)^{3/2} \left(\frac{k_B T}{\hbar} \right)^{5/2} \int_0^{\infty} \frac{x^{3/2} dx}{e^x - 1} = \frac{k_B T^{5/2}}{4\pi^2} \left(\frac{k_B}{J} \right)^{3/2} \Gamma\left(\frac{5}{2}\right) \zeta\left(\frac{5}{2}\right)\end{aligned}$$

$$\bar{E} = 0,045 k_B \left(\frac{k_B}{J} \right)^{3/2} T^{5/2}$$

Тогда

$$C_V = N_A \frac{d\bar{E}}{dT} = \frac{5}{2} N_A \frac{\bar{E}}{T}$$

$$C_V = 0,113 R \left(\frac{k_B T}{J} \right)^{3/2}$$